

۱۶ و ۱۷ اسفندماه ۱۳۹۴ دانشگاه یزد

بررسی ناحیه گذار $U(5)$ - $O(6)$ با استفاده از جبر آفین $SU(1,1)$ در مدل اندرکنش بوزون-فرمیونی

جعفریزاده-محمد علی^۱، فولادی-ناصر^{۱*}، قپانوری-مریم^۲، رنجبر-زینب^۱، صدیق زاده-اصغر^۲

^۱دانشگاه تبریز دانشکده فیزیک

^۲پژوهشگاه علوم و فنون هسته‌ای پژوهشکده فیزیک پلاسما و گداخت هسته‌ای

چکیده:

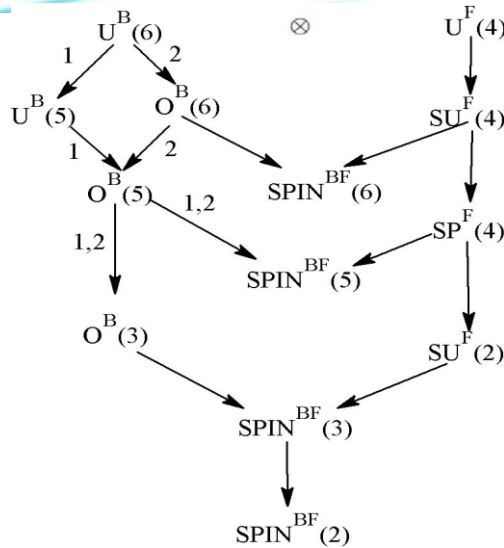
در این مقاله ناحیه گذار $u(5)$ - $o(6)$ در هسته‌های A فرد با استفاده از جبر آفین $SU(1,1)$ و ساختار جبر دوگانگی در سیستم‌های دو تراز در مدل اندرکنش بوزون-فرمیونی بررسی می‌شود. در این مقاله برای هسته‌های A فردی که نوکلئون با $\frac{3}{2} = \frac{3}{2} = \frac{3}{2}$ به یک سیستم بوزونی کوپل می‌شوند مدل حل پذیرای ارائه سپس به بررسی مشاهده پذیرهای کوانتومی گذار فاز مانند تقاطع تراز، مقادیر انتظاری عدد d بوزونی، انرژی حالت پایه و مشتق اول آن می‌پردازیم.

کلمات کلیدی: Quantum phase transition, interacting boson-fermion model, affin algebra.

مقدمه:

در بسیاری از نمونه‌ها در فیزیک، ما مجبوریم سیستم‌های بوزونی و فرمیونی را بصورت همزمان در نظر بگیریم که کوپل فرمیونها و بوزونها منجر به مدل اندرکنش بوزون-فرمیونی می‌شود که برای بررسی خواص هسته‌هایی با عدد جرمی فرد (هسته‌های فرد-زوج و زوج-فرد) مورد استفاده قرار گرفته است [۱]. در مدل IBFM تقارن‌های بوز-فرمی متناسب با هر یک از تقارن‌های دینامیکی مدل IBM-1 است در این مقاله ما گذار بین حدهای تقارن دینامیکی $U(5)$ و $O(6)$ مدل اندرکنش بوزونی را که تک نوکلئونی با $\frac{3}{2} = \frac{3}{2} = \frac{3}{2}$ به آنها کوپل شده است را در نظریه‌گیری می‌گیریم. بنابراین گذار بین دو زنجیره زیر صورت می‌پذیرد [۲]:

۵ و ۶ اسفندماه ۱۳۹۴ دانشگاه یزد



روش کار :

در این مدل گذار فاز توسط قسمت بوزونی انجام می شود و اثر نوکلئون منفرد تنها بر اسپین کل هسته اثر گذار است .

جبرلی متناظر با گروه تقارنی $SU(1,1)$ با استفاده از سه عملگر S^+, S^-, S^0 توصیف می شود که روابط جابجائی زیر بین

آنها برقرار می باشد [۳]

$$[S^0, S^\pm] = \pm S^\pm [S^+, S^-] = -2S^0 \quad (1)$$

مولد های گروه $SU^d(1,1)$ که شامل جفت شدگی d بوزون را در نظر می گیریم بصورت [۳]

$$S_{BF}^+ = \frac{1}{2}(d^+ \cdot d^+) \quad , \quad S_{BF}^- = \frac{1}{2}(\tilde{d} \cdot \tilde{d}) \quad , \quad S_{BF}^0 = \frac{1}{4} \sum_{\vartheta} (d_{\vartheta}^+ d_{\vartheta} + d_{\vartheta} d_{\vartheta}^+) \quad (2)$$

برای نمونه های مربوط به حد $SO(6)$ ، مولدهای $SU^{sd}(1,1)$ ایجاد می شود بصورت

$$S_B^+ = \frac{1}{2}(d^+ \cdot d^+ \pm s^{\pm 2})$$

$$S_B^- = \frac{1}{2}(\tilde{d} \cdot \tilde{d} \pm s^2) \quad , \quad S_{BF}^0 = \frac{1}{4} \sum_{\vartheta} (d_{\vartheta}^+ d_{\vartheta} + d_{\vartheta} d_{\vartheta}^+) + \frac{1}{4}(s^+ s + s s^+) \quad (3)$$

رابطه دوگانگی بین کازیمیر ها بصورت زیر برقرار می گردد [۳] :

۵ و ۶ اسفندماه ۱۳۹۴، دانشگاه یزد

$$C_2(SU^d(1,1)) = \frac{5}{16} + \frac{1}{4}C_2(SO^B(5)), C_2(SU^{sd}(1,1)) = \frac{3}{4} + \frac{1}{4}C_2(SO^B(6)) \quad (4)$$

حال می توان به صورت مشابه، جبر بی نهایت بعدی خود را تولید نمود

$$S_n^\pm = c_s^{2n+1}S^\pm(s) + c_d^{2n+1}S^\pm(d)S_n^0 = c_s^{2n}S^0(s) + c_d^{2n}S^0(d) \quad (5)$$

$$[S_m^0, S_n^\pm] = \pm S_{m+n}^\pm, \quad [S_m^+, S_n^-] = -2S_{m+n}^0 \quad (6)$$

بنابراین مجموعه عملگرهای $\{S_m^\mu, \mu = 0, +, -; m = 0, \pm 1, \dots\}$ یک جبرلی آفین $SU(\widehat{1,1})$ بدون گستردگی مرکزی را فراهم می آورند که هنگامی که $c_s = 0$ و $c_d \neq 0$ حد $U^{BF}(5)$ و $c_s = c_d$ حد $O^{BF}(6)$ را خواهیم داشت منطقه گذر هنگامی که $c_s \neq c_d$ باشد حاصل می گردد. در ادامه با استفاده از مولد های جبر $SU(\widehat{1,1})$ هامیلتونین لازم برای توصیف ناحیه گذار $U(5) \leftrightarrow SO(6)$ را می توان ایجاد کرد.

$$\hat{H} = gS_0^+S_0^- + \alpha S_1^0 + \beta \widehat{C}_2(Spin^{(BF)}(5)) + \gamma \widehat{C}_2(spin^{BF}(3)) \quad (7)$$

برای محاسبه ویژه مقادیر هامیلتونین، ویژه حالات این سیستم را به صورت زیر در نظر می گیریم [۳]

$$|k; v_s v_n \Delta LM\rangle = \mathcal{N} S_{x_1}^+ S_{x_2}^+ \dots S_{x_k}^+ |lw\rangle, \quad (8)$$

$$|lw\rangle = |N, k_d = \frac{1}{2}(v + \frac{5}{2}), \mu_d = \frac{1}{2}(n_d + \frac{5}{2}), k_s = \frac{1}{2}(v_s + \frac{1}{2}), \mu_s = \frac{1}{2}(n_s + \frac{1}{2}), JM\rangle \quad (9)$$

$$S_n^0 |lw\rangle = \Lambda_n^0 |lw\rangle, \quad \Lambda_n^0 = c_s^{2n} (n_s + \frac{1}{2}) \frac{1}{2} + c_d^{2n} (n_d + \frac{5}{2}) \frac{1}{2} \quad (10)$$

برای توصیف طیف انرژی سیستم های مورد مطالعه، باید ریشه های x_i را از معادله زیر تعیین کرد

$$\frac{\alpha}{x_i} = \frac{c_s^2 (v_s + \frac{1}{2})}{1 - c_s^2 x_i} + \frac{c_d^2 (v_d + \frac{5}{2})}{1 - c_d^2 x_i} - \sum_{j \neq i} \frac{2}{x_i - x_j} \quad for \quad i = 1, 2, \dots, k \quad (11)$$

$$c_d = 1, C = \frac{C_s}{C_d}, \quad h^{(k)} = \sum_{i=1}^k \frac{\alpha}{x_i}$$

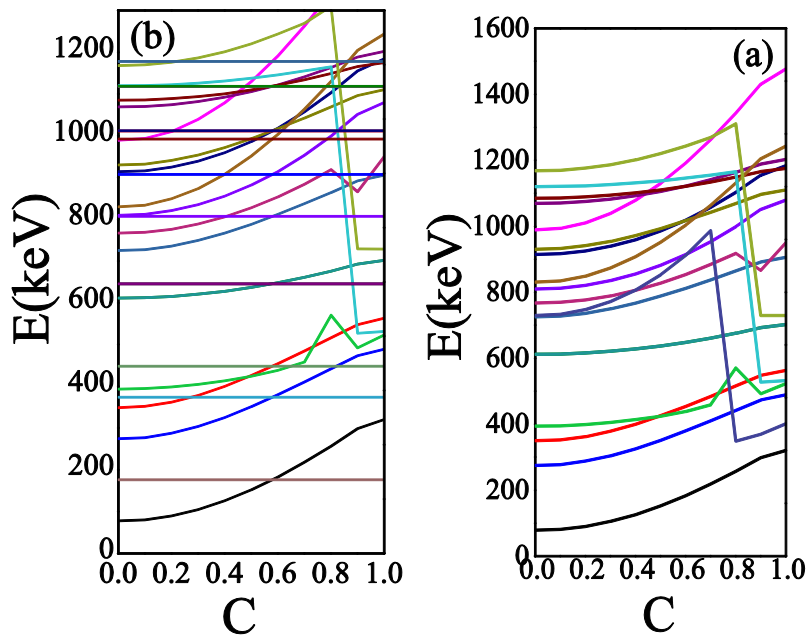
۱۶ و ۱۷ شهریور ۱۳۹۴ دانشگاه یزد

ویژه مقادیر هامیلتونین (V) به صورت زیر بیان می گردد

$$E^{(k)} = h^{(k)} + \beta(+ + \alpha\Lambda_1^0 + \gamma J(J + 1))(12)$$

نتایج :

به منظور نشان دادن چگونگی تغییر ترازهای انرژی بعنوان تابعی از کنترل پارامتر C و تعداد کل N، پایین ترین ترازهای انرژی بصورت تابعی از کنترل پارامتر برای N=10,20 بوزون در شکل (۱) نشان داده شده است. از این شکل ها می توان دید که چگونه ترازهای انرژی برحسب کنترل پارامتر از یک حد تقارن دینامیکی به حد دیگر توسعه می یابند. تقاطع ترازهای متعددی بویژه در اطراف $C \geq 0.7$ دیده می شود. تقاطع ترازهای به دلیل حفظ ارشدیت d بوزون ، عدد کوانتومی O(5) ، در طول مسیر گذار بین U(5) و O(6) است [۴و۵].

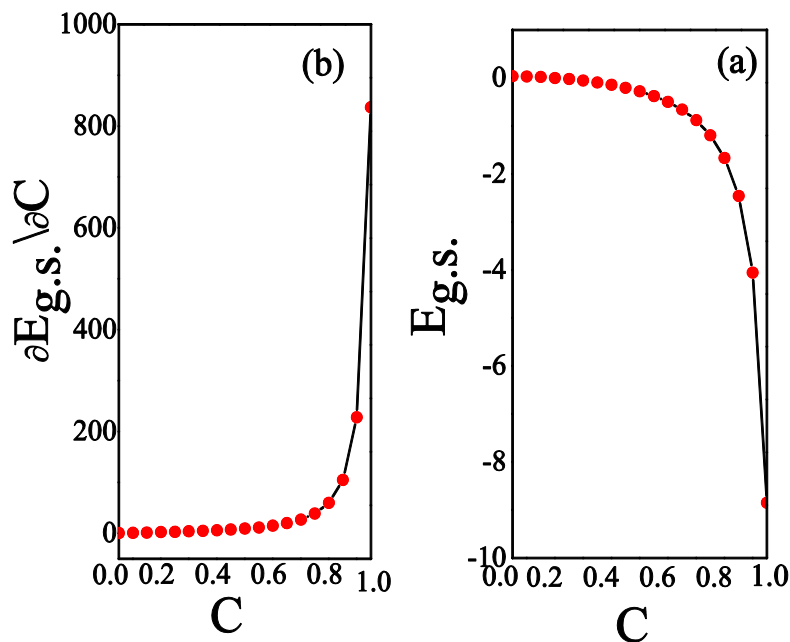


شکل (۱). تغییر ترازهای انرژی بعنوان تابعی از کنترل پارامتر C برای (a) N=10 (b) N=20.

انرژی حالت پایه یک مشاهده پذیر کلیدی گذار فاز است . بنابراین ، ما انرژی حالت پایه ، $E_{g.s.}$ ، و مشتق اول، $\frac{\partial E_{g.s.}}{\partial C}$ ، آن را محاسبه کردیم . شکل (۲) تغییرات انرژی حالت پایه و مشتق اول آن را در مقابل کنترل پارامتر C نشان می دهد. هر دو این اپراتورها تقریباً در یک فاز صفر و در فاز دیگر مخالف صفر هستند. یک کمیت مشاهده پذیر کوانتومی مناسب گذار فاز مقادیر انتظاری اپراتور عدد d بوزونی است . بدین منظور ما با استفاده از ویژه حالات بدست آمده مقادیر انتظاری این

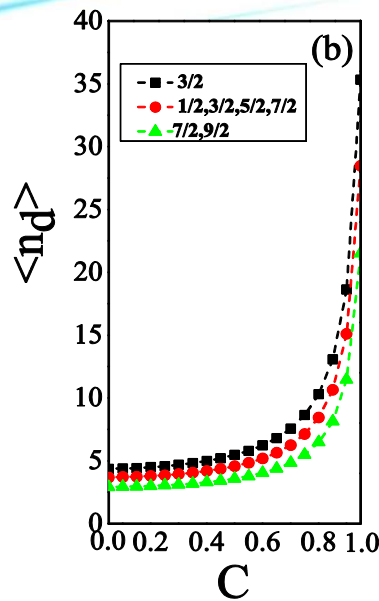
۱۶ و ۱۷ شهریور ۱۳۹۴ دانشگاه یزد

اپراتور را محاسبه کردیم. شکل (۴) نمایانگر تغییرات اپراتور عدد d بوزون برای حالاتی که یک ذره با $j=3/2$ به یک سیستم از بوزونهای s, d که متعلق به گذار $U(5)-O(6)$ کوپل می شود را بصورت تابعی از کنترل پارامتر C برای $N=10$ است. برای هر ممتوم زاویه ای تقریبا برای $C \leq 0.45$ ثابت باقی می ماند و تنها در $C > 0.45$ شروع به تغییر سریع می کند. ثابت ماندن این اپراتورها برای $C < 0.45$ یک شاهد واضح برای حفظ تقارن دینامیکی $U(5)$ در این منطقه است و برای $0.65 \leq C \leq 1$ مقادیر n_d شروع به تغییر سریع می کنند [۶].



شکل (۲). تغییرات انرژی حالت پایه و مشتق اول آن را در مقابل کنترل پارامتر C

۱۶ و ۱۷ اسفندماه ۱۳۹۴ دانشگاه یزد



شکل (3). مقادیر انتظاری اپراتور عدد d بوزونی در مقابل کنترل پارامتر C

بحث و نتیجه گیری :

در این مقاله ، حل دقیقی برای ویژه مقادیر و ویژه توابع برای هسته ها در منطقه گذار $U(5) \leftrightarrow SO(6)$ مدل اندرکنش بوزون - فرمیونی بوسیله تکنیک جبری بینهایت بعدی بدست آمد. با رسم نمودار طیف انرژی تئورزی و مقادیر انرژی پایه و مشتق اول آن اپراتور عدد d بوزونی برحسب پارامتر کنترلی C ، به این نتیجه رسیدیم که بر اساس ویژگی های تقارنی هر کدام از حدود تقارن ، ثابت های مخصوص خود و به تبع آن رفتار معینی از نظر انرژی و سایر پارامتر های مرتبط با ساختار سیستم دارند و لیدر نقطه ی گذر فازی ، ترکیب چند تقارن سبب بروز رفتار غیر مشابه با نقاط مجاور می گردد که این نشان دهنده گذر حد $U(5)$ به $O(6)$ می باشد .

مراجع :

- [1] F. Iachello, A. Arima, *The Interacting Boson Model* (Cambridge University Press, Cambridge, 1987)
- [2] F. Iachello, P. VanIsacker , “ The interacting boson – fermion model “ , Cambridge : Cambridge university press (1991).
- [3] Feng Pan, J.P. Draayer, Nucl. Phys A **636**, 156 (1998).
- [4] C.E. Alonso, J.M. Arias and M. Lozauro, J.Phys.G:Nucl.phys.13, 1269-1282(1987).



بیست و دومین کنفرانس هسته‌ای ایران



۱۳۹۴ و ۱۳۹۵
شماره ۱ و ۲

[5] E. Williams, R.J. Casperson, V. Werner, Phys. Rev. C 81, 054306(2010).

[6] P. Cejnar, J. Jolie, and R. F. Casten, Rev. Mod.Phys82, 2155(2010).